

## แบบจำลองเชิงระยะของขีปนาวุธในรูปแบบสองมิติ

### Distance Modeling of Missiles in Two-dimensional Space

นิติเกต สุริยา ประกอบ หันหาร์ด พ.อ. (พิเศษ) ชาญณรงค์ วงศ์สุกัณณ์<sup>1</sup>

<sup>1</sup>ภาควิชาวิศวกรรมสารสนเทศ

คณะวิศวกรรมศาสตร์

สถาบันเทคโนโลยีพระจอมเกล้าเจ้าคุณทหารลาดกระบัง

ถ. ฉลองกรุง เขต拉丁กระปัง กท. 10520

Email: kspitikh@kmitl.ac.th

<sup>2</sup>สำนักงานวิจัยและพัฒนาการทหารกลาโหม

อาคารสำนักงานปลัดกระทรวงกลาโหม

ชั้น 5 (แขวงวัฒนา) 47/433 หมู่ 3 ต. บ้านใหม่

อ. ปากเกร็ด จ. นนทบุรี 11120

Email: charnarong-wong@yahoo.com

#### บทคัดย่อ

บทความนี้กล่าวถึงการสร้างแบบจำลองเชิงคณิตศาสตร์เพื่อการจำลองผลทางจลดาศาสตร์ของขีปนาวุธในรูปแบบสองมิติ แบบจำลองที่ได้เป็นแบบจำลองเชิงระยะ สร้างโดยอาศัยสมการการเคลื่อนที่ตามกฎข้อสองของนิวตัน ผลที่ได้นำไปจำลองเลียนแบบโดยโปรแกรม Matlab เพื่อตรวจสอบความถูกต้อง โดยอาศัยข้อมูลที่ใช้ตามหลักความจริง พบว่า แบบจำลองที่ได้ให้ผลเป็นที่น่าพอใจในเรื่องที่ว่าขีปนาวุธสามารถยิงเข้าเป้าหมายเคลื่อนที่อย่างมีนัยสำคัญเชิงเวลา

สั่งสมจนถึงขั้นมีข้อความสามารถที่จะผลิตได้ ณ ปัจจุบัน นอกจากนี้ การสั่งสมองค์ความรู้ขั้นพื้นฐานยังไม่อยู่ในความสนใจของนักวิจัยของไทยในวงกว้าง ความพยายามที่เป็นไปได้ในเบื้องต้นดังที่ได้กล่าวมาแล้วก็คือ การเริ่มเป็นผู้จัดทำซื้อและผลิตใช้ โดยเริ่มจากการสั่งสมองค์ความรู้ทั้งในส่วนที่เป็นพื้นฐานและระดับสูงควบคู่กันไป ทราบจะสามารถมีศักยภาพเพียงพอที่จะสร้างได้ถ่องถายในประเทศไทยซึ่งจะช่วยลดงบประมาณของประเทศลงได้มาก เนื่องจากมีราคากลูกค้าการสั่งซื้อจากต่างประเทศ

บทความนี้ มุ่งเน้นการสร้างแบบจำลองทางคณิตศาสตร์ของขีปนาวุธจากอากาศสู่อากาศ เพื่อเป็นบทความนำร่องที่จะมุ่งกระตุ้นวงการวิจัยไทยให้มานะสนใจทำวิจัยในการป้องกันและรักษาความมั่นคงของประเทศให้มากขึ้น และเพื่อให้มีแบบจำลองคณิตศาสตร์ด้านแบบแรกของขีปนาวุธที่จะได้พัฒนาให้มีความถูกต้อง (accuracy) เที่ยงตรง (reliability) และมีความเชื่อมั่น (validity) สูงต่อไป อันเป็นจุดเด่นในการศึกษาเพื่อพัฒนาแนวทางในการวางแผนการดำเนินโครงการเพื่อสร้างจริงต่อไปในอนาคต

ในการศึกษาขั้นนี้จะเริ่มจากแบบจำลองทางคณิตศาสตร์ในลักษณะ 2 มิติก่อน แล้วจึงขยายผลต่อไปแบบจำลองที่สร้างขึ้นนี้เป็นแบบจำลองเชิงระยะซึ่งมีข้อเสนอของการพิจารณาโดยยิ่งจากอากาศสู่อากาศ หรือที่เรียกว่า "ขีปนาวุธแบบอากาศสู่อากาศ (Air to Air Missile)" โดยจะแสดงให้กับคนดูจะเห็น 2 มิติของตำแหน่งของขีปนาวุธนั่นก็และตำแหน่งของเป้าหมายโดยมีระบบนำร่องพื้นฐานในการหาตำแหน่งของเป้าหมายนั้น

#### 2. ส่วนประกอบหลักของระบบขีปนาวุธนำวิถีและแบบจำลองเชิงคณิตศาสตร์

ส่วนประกอบหลักของระบบขีปนาวุธที่พิจารณาเมื่อส่วนที่เป็นพื้นฐานดังแสดงในรูปที่ 1 ซึ่งแต่ละส่วนประกอบย่อสามารถรายโดยสม

#### Abstract

In this paper, we derive and establish the mathematical model for simulation the kinematics of missiles in two-dimensional space. The distance modeling is derived from equation of motions based upon the second law of Newton and the physical consideration. Computer simulations using Matlab program are carried out to validate the accuracy of the model. With a realistic data consideration, a satisfactory result is achieved in the sense that missile can reach a moving target in significant period of time.

#### 1. บทนำ

ด้วยความพยายามเบื้องต้นที่จะเป็น “ผู้ซื้อที่ชาญฉลาด” (smart buyer) และผู้ใช้ที่ชาญฉลาด (smart user) กองทัพไทยจึงมีความจำเป็นในเบื้องต้นที่ต้องติดตามเทคโนโลยีทางด้านอาวุธทันสมัยที่ควบคุมด้วยวิธีการควบคุมขั้นสูง (advance control) แบบต่าง ๆ ในทันขีปนาวุธจัดเป็นอาวุธที่มีเทคโนโลยีระดับสูงแบบหนึ่งที่จำเป็นจะต้องมีไว้ป้องกันประเทศ ซึ่งในปัจจุบันนี้ การสร้างขีปนาวุธในประเทศไทยยังไม่เกิดขึ้นน่อง เพราะองค์ความรู้ในด้านการสร้าง (know-how) ไม่มีการ

การทางคณิตศาสตร์ได้ แบบจำลองเชิงคณิตศาสตร์ที่ได้สามารถนำไปใช้ในชีวิตประจำวันและจำลองผลด้วยคอมพิวเตอร์  
เนื่องจากการจำัดของเนื้อที่สำหรับทุกความ ดังนั้น ขอกระยะละเอียด การคำนวณที่ซับซ้อนและการพิสูจน์ที่มากของสมการไว้ ณ ที่นี่ โดยสามารถตรวจสอบการการศึกษาจากกฎการเคลื่อนที่ทางพิสิกส์ตามเอกสารอ้างอิงในท้ายบทความนี้ [1,2,3,4]

### 2.1 ภาคขับเคลื่อน

สมมติว่าเครื่องเพลิงส่วนใหญ่ถูกเผาให้มหิดในทันทีที่จุดชนวน และ การเคลื่อนที่อาศัยความเรือยที่ได้จากการประยั้ง ดังนั้นจึงประมาณ การคำนวณโดยจะกำหนดให้มวลของชีปนาวุธมีค่าคงที่ และโดยอาศัย กฎข้อ 2 ของนิวตัน (Newton's Second law) จะได้ว่า

$$F = m V_M \quad (1)$$

เมื่อ  
ชีปนาวุธ

$F$  เป็น แรงขับหันหมอดตลอดเส้นทางการเคลื่อนที่  
ของชีปนาวุธ

$m$  เป็นมวลของชีปนาวุธ

ดังนั้น

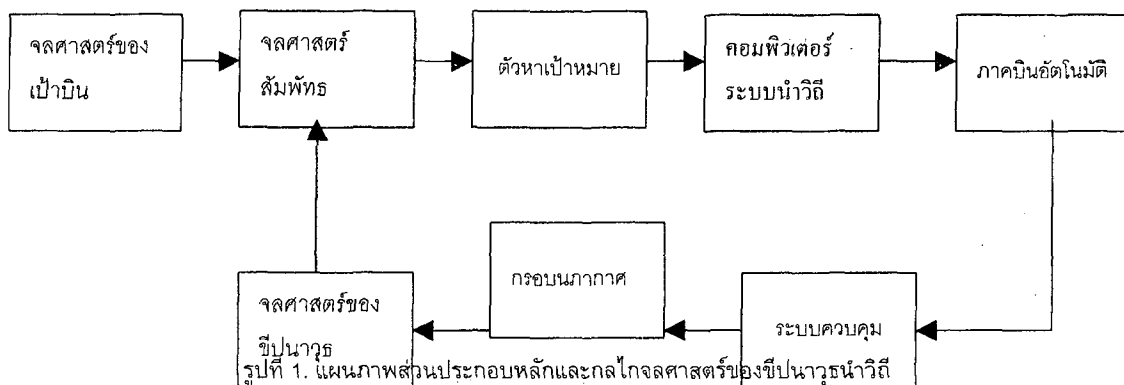
$V_M$  เป็นความเร็วหันหมอดของชีปนาวุธ

เมื่อ

$$V_M = F / m = (T - D) / m \quad (2)$$

$T$  เป็นค่าของแรงขับส่ง (Thrust)

$D$  เป็นค่าของแรงต้าน (Drag)



2.2 แรง抵抗力โดยผลศาสตร์อากาศ  
ในการเคลื่อนที่ของชีปนาวุธจะพิจารณาการต้านการเคลื่อนที่ตาม  
สมการ

แรงต้านการเคลื่อนที่

$$F_{\text{aero}} = 0.5 \rho V_M^2 s C_D \quad (3)$$

เมื่อ  $\rho$  เป็นความหนาแน่นของอากาศ

$V_M$  เป็นความเร็วของชีปนาวุธ

$C_D$  เป็นค่าสัมประสิทธิ์ของแรงผลศาสตร์อากาศ

ซึ่งเราสามารถเขียนใหม่ได้เป็น

$$F_{\text{aero}} = 0.5 \rho V_M^2 s \frac{\partial C_D}{\partial \beta} \beta \quad (4)$$

เมื่อ  $\partial C_D / \partial \beta$  เป็นค่าของอนุพันธ์ของแรงดามแหนวดตั้งฉาก

$\beta$  เป็นค่าของสัมประสิทธิ์การปะทะ (incidence)

และสามารถจัดรูปสมการใหม่ได้เป็น

$$\beta = F / (0.5 \rho V_M^2 s C_N \beta) = m \alpha / (0.5 \rho V_M^2 s C_N \beta) \quad (5)$$

เมื่อ  $\alpha$  เป็นความเร็วของชีปนาวุธตามแนวตั้งจาก

$$C_N \beta = \frac{\partial C_N}{\partial \beta}$$

$$\frac{\partial \beta}{m}$$

เป็นมวลของชีปนาวุธ

### 2.3 รูปลักษณ์การรั้งต้าน (Profile Drag)

โดยใช้สมการมาตรฐานของแรงผลศาสตร์อากาศ จะได้

$$D_{\text{PROFILE}} = 0.5 \rho V_M^2 s C_D \quad (6)$$

เมื่อ  $D_{\text{PROFILE}}$  เป็นค่าของรูปลักษณ์การรั้งต้าน

$C_D$  เป็นค่าสัมประสิทธิ์ของการรั้งต้าน

### 2.4 การรั้งต้านเหนี่ยวนำ (Induced Drag)

เมื่อแนวแกนตามขวางของชีปนาวุธอยู่เป็นมุม  $\delta$  กับแนวการเคลื่อนที่ การรั้งต้านเหนี่ยวนำที่เกิดขึ้นสามารถบรรยายได้โดยสมการ

$$D_{\text{INDUCED}} = F_{\text{lat}} \sin \delta \quad (7)$$

เมื่อค่าของ  $\delta$  มีค่าน้อย ๆ จะกำหนดให้  $\sin \delta = \delta$  และ  $F_{\text{lat}}$  เป็นแรงตามแนวขวางตามลำชีปนาวุธ จะได้

$$D_{\text{INDUCED}} = F_{\text{lat}} \delta$$

$$= m \alpha \delta$$

### 2.5 กฎการนำวิธี

ชีปนาวุธส่วนมากจะใช้กฎแปรผันตรงแห่งการนำร่อง (Proportion Navigation หรือ PN) ซึ่งจะมาจากการสัดส่วนของอัตราเปลี่ยนเส้นทางบิน (flight path rate)  $\Psi_M$  และอัตราเปลี่ยนแนวการเห็น (line of sight rate)  $r_{ss}$  จะได้ว่า

$$\Psi_M = K r_{ss} \quad (8)$$

เมื่อ

 $K$  เป็น ค่าคงที่การนำร่อง (navigation constant)

จาก

$$\alpha = V_M \Psi_M \quad (9)$$

แทน (8) ลงใน (9) จะได้

$$\alpha = V_M K r_{ss} \quad (10)$$

สำหรับ การนำวิถีที่ดีที่สุด (optimum guidance) [4]

$$K = N' V_C / V_M \quad (11)$$

เมื่อ  $V_C$  เป็นค่าของความเร็วใกล้พิสัย (closing velocity) จากสมการที่ (27) $N'$  เป็นค่าอัจฉริยะการนำร่อง (effective navigation) ดังนั้นจะได้ว่า

$$\alpha = N' V_C r_{ss} \quad (12)$$

## 2.6 อัตราการเปลี่ยนเส้นทางบิน

จากสมการของการเคลื่อนที่เป็นวงกลม  $\alpha = V^\omega$  จะได้ว่า

$$\Psi_M = \square \Psi_M dt + \Psi_{M0} \quad (13)$$

## 3. จลดาสตร์ของเป้าหมายและขีปนาวุธในเชิงระยะ

ให้วัดอัตราการเคลื่อนที่ของขีปนาวุธในเชิงระยะและเป้าหมายในระนาบ 2 มิติ เพื่อหาตำแหน่งการชนของขีปนาวุธและเป้าหมาย โดยร่วมวิเคราะห์ในส่วนของเป้าหมายก่อน

## 3.1 จลดาสตร์ของเป้าหมาย (Target Kinematics)

เราจะพิจารณาโดยสมมติว่าเป้าหมายมีมวลและความเร็วคงที่ โดยสมมติให้อัตราการเปลี่ยนมวลต่อหน่วยเวลา มีค่าน้อยมากจนไม่นำมาพิจารณาได้ ความเร็วของเป้าหมายบนระนาบ 2 มิติ บรรยายโดยเขียนในรูปสมการ

$$X_T^\square = V_T \cos \Psi_T \quad (14)$$

$$Y_T^\square = V_T \sin \Psi_T \quad (15)$$

เมื่อ  $V_T$  เป็นความเร็วของเป้าหมาย $\Psi_T$  เป็นค่าของอัตราการเลี้ยวเบนของเป้าหมายจากแนวบินเดิม (target yaw flight path rate)

จะได้ตำแหน่งของเป้าหมายบนระนาบ 2 มิติ เป็น

$$X_T = \square X_T^\square dt + X_{T0} \quad (16)$$

$$Y_T = \square Y_T^\square dt + Y_{T0} \quad (17)$$

โดย  $X_{T0}$  เป็น  $Y_{T0}$  เป็นตำแหน่งเริ่มต้นตามแนวแกน x และแกน y ตามลำดับ

## 3.2 จลดาสตร์ของขีปนาวุธ (Missile Kinematics)

โดยอาศัยสมมติฐานว่าอัตราการเปลี่ยนมวลมีค่าน้อยมากจนสามารถพิจารณาได้ว่าขีปนาวุธมีมวลคงที่หลังประลัยโดยจับพลันด้วยความเร็วตันเป็น 300 เมตร/วินาที

จากการพิจารณาค่าของอัตราการเปลี่ยนเส้นทางบิน ในรูป

$$\Psi_M = \alpha / V_M \quad (18)$$

จะได้มุมเปลี่ยนทางเดินเป็น

$$\Psi_M = \square \Psi_M dt + \Psi_{M0} \quad (19)$$

ดังนั้นความเร็วของขีปนาวุธบนระนาบ 2 มิติ จะได้จาก

$$X_M^\square = V_M \cos \Psi_M \quad (20)$$

$$Y_M^\square = V_M \sin \Psi_M \quad (21)$$

ในทำนองเดียวกัน จะได้ตำแหน่งของขีปนาวุธบนระนาบ 2 มิติ เป็น

$$X_M = \square X_M^\square dt + X_{M0} \quad (22)$$

$$Y_M = \square Y_M^\square dt + Y_{M0} \quad (23)$$

## 3.3 จลดาสตร์สมพักษ์ระหว่างขีปนาวุธและเป้าหมาย (Relative Kinematics)

จะระยะสั้นพักช่วงระหว่างขีปนาวุธและเป้าหมายสามารถบรรยายได้ด้วยสมการ

$$R^2 = (X_T - X_M)^2 + (Y_T - Y_M)^2 \quad (24)$$

และมีความเร็วสัมพักช่องขีปนาวุธและเป้าหมายเป็น

$$X_R^\square = X_T^\square - X_M^\square \quad (25)$$

$$Y_R^\square = Y_T^\square - Y_M^\square \quad (26)$$

จะได้ค่าความเร็วใกล้พิสัย (Closing Velocity) จาก

$$V_C = [(X_T - X_M) X_R^\square + (Y_T - Y_M) Y_R^\square] / R \quad (27)$$

## 3.4 ตัวหาเป้าหมาย (Seeker)

จะทำหน้าที่จับสัญญาณการเคลื่อนที่ของเป้าหมาย โดยหมายจากสมการของอัตราเปลี่ยนแนวการเห็น โดย

$$r_{ss} = (X_R^\square \cos \Psi_s - Y_R^\square \sin \Psi_s) / R \quad (28)$$

โดย มีค่าของมุมการเห็น (sight line angle) เป็น

$$\Psi_s = \square r_{ss} dt + \Psi_{s0} \quad (29)$$

## 3.5 การนำวิถี (guidance)

ในส่วนของการนำวิถี ของแบบจำลองจะคำนวณค่าที่ได้มาจากการหาเป้าหมาย โดย

$$\alpha = N' V_C r_{ss} \quad (30)$$

## 3.6 การบินอัตโนมัติ (autopilot), การควบคุม (control) และกรอบอากาศ (air frame)

สมการที่สมมติใช้จำลองการบินอัตโนมัติ การควบคุม และกรอบอากาศ อาศัยการจำลองของสมการต่อไปนี้ ส่มการการปะทะ (incidence) จะได้มาจากการ

$$\beta = m\alpha / (0.5 \rho V_M^2 s C_N \beta) \quad (31)$$

สมการรูปลักษณ์การด้านรัง (profile drag) จะได้มาจากการ

$$D_{PROFILE} = 0.5 \rho V_M^2 s C_D \quad (32)$$

สมการการด้านรังเห็บยิ่งนำ (induced drag) จะได้มาจากการ

$$D_{INDUCED} = m \alpha \delta \quad (33)$$

ค่าของความเร่งตามแนวยาวของขีปนาวุธ (longitudinal acceleration) จะได้มาจากการ

$$V_M^{\square} = (T - D_{PROFILE} - D_{INDUCED}) / m \quad (34)$$

ค่าความเร็ว ของขีปนาวุธจะได้มาจากการ

$$V_M = \int V_M^{\square} dt + V_{M0} \quad (35)$$

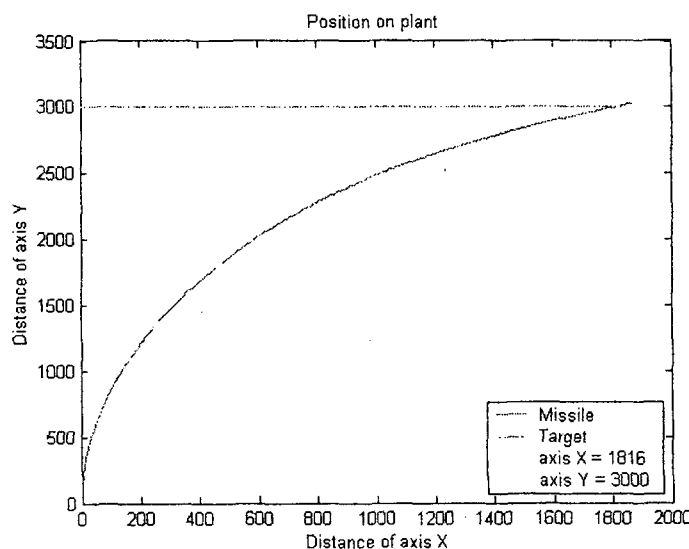
#### 4. ผลที่ได้จากการจำลองด้วยคอมพิวเตอร์

โดยอาศัยสมการ (14) – (35) และข้อมูลจำลองและถูกจำลองหัวข้ออย่าง 4.1 ถึง 4.3 เราจะสามารถจำลองผลทางศาสตร์เชิงระยะตัวยocomพิวเตอร์ โดยอาศัยโปรแกรม MATLAB [5] ซึ่งเราจะกำหนดเงื่อนไขให้กับตัวแปรในสมการดังกล่าวข้างต้นดังนี้คือ

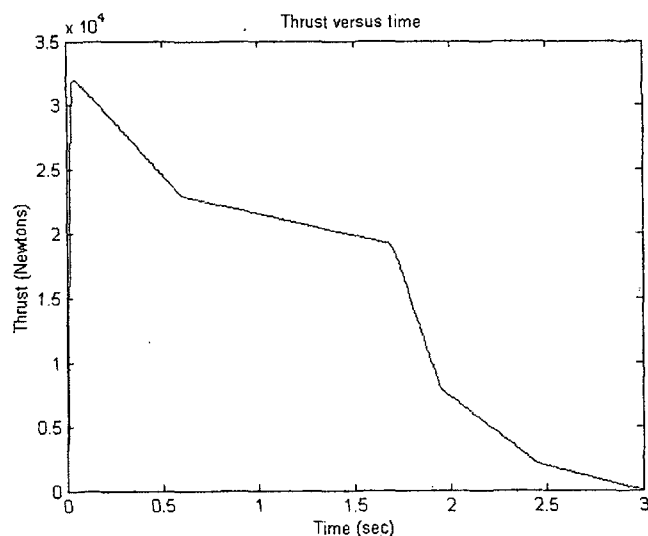
4.1 ข้อมูลตัวแปรที่มีค่าเป็นค่าคงที่ค่าคงที่การแปลงของแรงน้ำร่อง

$$(PN \text{ constant, } N') = 3$$

$$\text{มวล (m)} = 70 \text{ kg}$$



รูปที่ 2 แสดงการเคลื่อนที่ของขีปนาวุธและเป้าหมาย



รูปที่ 3 แสดงแรงขับส่งของขีปนาวุธที่เวลาต่างๆ

พื้นที่อ้างอิง

$$(reference area, s) = 0.02 \text{ m}^2$$

$$\text{ความเร็วเริ่ม} (V_{s0}) = 340 \text{ m/sec}$$

ความหนาแน่นอากาศ

$$(P) = 1.3 \text{ kg/m}^3$$

4.2 ข้อมูลตัวแปรที่อาศัยเงื่อนไขเริ่มต้น

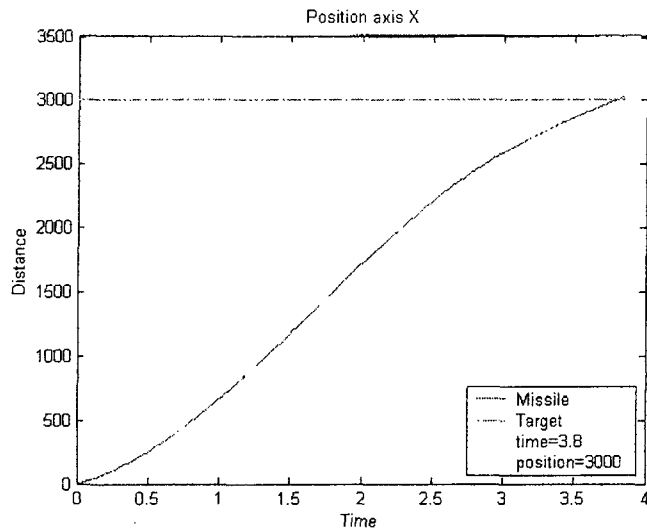
ตำแหน่งเริ่มต้นขึ้ปนาวุธตามแนวแกน

$$(X_{M0}) = 0.0 \text{ m}$$

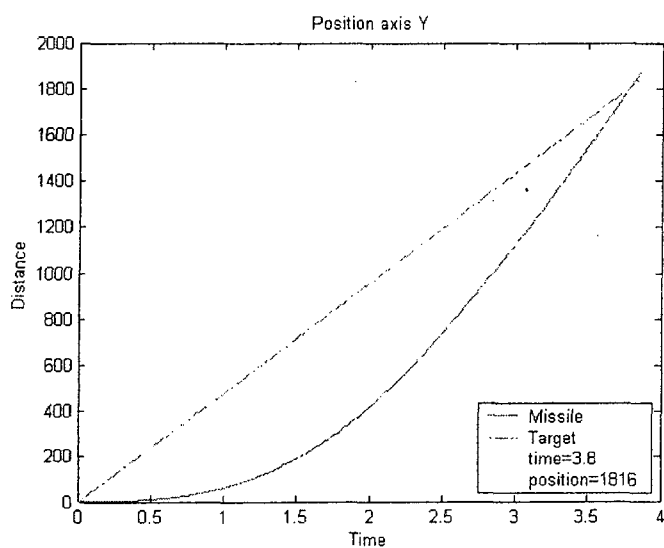
ตำแหน่งเริ่มต้นขึ้ปนาวุธตามแนวแกน

$$(Y_{M0}) = 0.0 \text{ m}$$

ความเร็วต้นขึ้ปนาวุธ



รูปที่ 4 แสดงการเคลื่อนที่ของขึ้ปนาวุธและเป้าหมายในแนวแกน X



รูปที่ 5 แสดงการเคลื่อนที่ของขึ้ปนาวุธและเป้าหมายในแนวแกน Y

$$(V_{M0}) = 300.0 \text{ m/s}$$

เส้นทางบินตั้งต้นของขึ้ปนาวุธ

$$(\Psi_{M0}) = 0.0 \text{ m}$$

แนวการเดินเริ่มต้นของขึ้ปนาวุธ

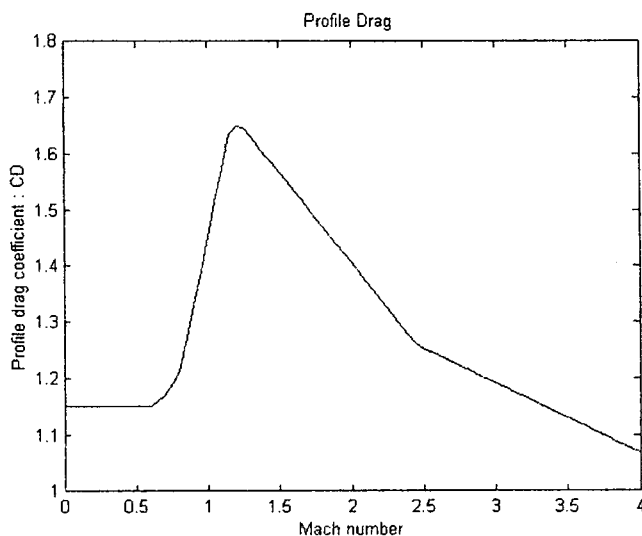
$$(\Psi_{s0}) = 0.0 \text{ m}$$

ตำแหน่งเริ่มต้นของเป้าหมายตามแนวแกน X ( $X_{T0}$ ) =

$$3000.0 \text{ m}$$

$$\begin{aligned} \text{ตำแหน่งเริ่มต้นของเป้าหมายตามแนวแกน } Y (Y_{T_0}) &= \\ 0.0 \text{ m} \\ \text{ความเร็วต้นของเป้าหมาย} \\ (V_{T_0}) &= 480.0 \text{ m} \end{aligned}$$

4.3 การเคลื่อนที่ของขีปนาวุธในการชนเป้าหมาย  
โดยอาศัยสมการและข้อมูลลังกล่าวข้างต้น ผลที่ได้จากการจำลอง  
ผลแบบจำลองเชิงระยะด้วยคอมพิวเตอร์ พบร่วมกันที่ของ  
ขีปนาวุธสูตรและเป้าหมายที่บินในระดับ 2 มิติ จากจุดเริ่มต้นของการบิน  
ขีปนาวุธจะถูกดึงดูดที่ขีปนาวุธวิ่งชนเป้าหมาย



รูปที่ 6 แสดงค่าสัมประสิทธิ์ของการด้านรัง

ใช้เวลาในการเคลื่อนที่ 3.8 วินาที และชนที่ตำแหน่งพิกัด  $(X,Y) = (1,816 \text{ m}, 3,000 \text{ m})$  ดังรูป 2 โดยมีแรงขับส่งในการเคลื่อนที่ซึ่งแสดงเป็นกราฟในรูปที่ 3

รูปที่ 4 และ รูปที่ 5 แสดงตำแหน่งการชนเป้าหมายของขีปนาวุธในแนวแกน X และแกน Y เทียบกับเวลา โดยเห็นได้ว่าจุดชนให้เวลาในการเข้าถึงเป้าหมายที่เท่ากันเป็นการยืนยันผลลัพธ์ของภารกิจการทำลายล้างอากาศยานของผู้บุกรุก ในสถานการณ์ที่สมดุลไว ซึ่งเมื่อ拿出ข้อมูลจากรูปที่ ห้องส่องสำรวจก็จะได้กราฟรูปที่ 2 ออกมาก

หมายเหตุ รูปที่ 3 และ รูปที่ 6 เป็นข้อมูลที่ใช้ในการสร้างแบบจำลอง โดยรูปที่ 3 จะแสดงกำลังขับหรือแรงขับส่งที่ขีปนาวุธใช้ในการเคลื่อนที่ที่เวลาต่างๆ ส่วนรูปที่ 6 จะแสดงค่าสัมประสิทธิ์ของการด้านรังที่ความเร็วต่างๆ ของขีปนาวุธ

จะเห็นได้ว่าแบบจำลองที่สร้างขึ้นและจำลองผลด้วยคอมพิวเตอร์ ตามข้อมูลที่กำหนดให้ใกล้เคียงกับความเป็นจริงในการยิงทำลายล้างอากาศยานที่มีความเร็วเฉลี่ยประมาณ  $250\text{-}350 \text{ m/s}$  ซึ่งในที่นี้ได้กำหนดให้เป้าหมายมีความเร็วตันคง  $480 \text{ m/s}$  ให้ผลการจำลองได้ในระดับการจำลองสถานการณ์ในระดับ 2 มิติ อย่างไรก็ตามการจำลองสถานการณ์ที่ใกล้เคียงความเป็นจริงมากกว่านี้ต้องการจำลองใน 3 มิติ ควรได้รับการขยายผลเพื่อพัฒนาแบบจำลองนี้ให้ครอบคลุมถึงกรณีดังกล่าว นอกจากนี้ แบบจำลองนี้ยังจำกัดในกรณีที่ตัวหาเป้าหมายไม่

อาจแบ่งแยกวัตถุปลอมหลอก (Decoy) จากอากาศยานของฝ่ายตรงข้ามซึ่งควรคำนึงถึงเพื่อพัฒนาแบบจำลองที่ได้นำสู่หัวงานในอนาคต

## 5. บทสรุป

บทความนี้ได้เสนอวิธีการสร้างแบบจำลองเชิงคณิตศาสตร์ของขีปนาวุธยิงสู่เป้าหมายจากอากาศยานสู่อากาศ โดยแบบจำลองที่ได้เป็นการศึกษาเชิงระยะในสองมิติดามหลักจลศาสตร์โดยอาศัยทฤษฎีฟิสิกส์ และจากการสมดุลสถานการณ์โดยใช้ขีปนาวุธยิงอากาศยานของผู้บุกรุก ซึ่งได้จำลองผลโดยอาศัยคอมพิวเตอร์โปรแกรม พบร่วมแบบจำลองที่สร้างขึ้นสามารถนำไปประยุกต์ใช้กับการศึกษาเบื้องต้นเพื่อนำสู่ความเข้าใจในการศึกษาจลศาสตร์ของขีปนาวุธ ซึ่งจะเป็นพื้นฐานในการสร้างแบบจำลองขั้นสูงของขีปนาวุธต่อไป แบบจำลองที่สร้างขึ้นยังคงเป็นแบบจำลองที่ยังขาดความสมมูลนิในด้านระบบการนำวิถีแบบฉลาด (Intelligent guidance) ซึ่งสามารถแยกระหว่างอากาศยานเป้าหมายกับวัตถุปลอมหลอก (decoy) การขยายผลให้ครอบคลุมสถานการณ์ดังกล่าวและแบบจำลองทั้งพลศาสตร์และจลศาสตร์เป็นหัวข้อวิจัยที่สมควรได้รับการขยายผลในอนาคต เพื่อนำสู่การสร้างระบบตัวจำลอง (simulator system) ที่สมบูรณ์แบบ อันจะประยุกต์ใช้ในกระบวนการทดสอบและการพัฒนาในด้านการยุทธศาสตร์ต่อไปในอนาคต

## 6. กิตติกรรมประกาศ

งานวิจัยนี้ได้รับการสนับสนุนทางด้านข้อมูลจากสำนักงานวิจัย  
และพัฒนาการทหารกลาโหม กองบัญชาการทหารสูงสุด \*

## 7. เอกสารอ้างอิง

- [1] Zarchan, Paul, *Tactical and Strategic Missile Guidance* ( Volume 124 of Progress in Astronautics and Aeronautics ). American Institute of Aeronautics and Astronautics, Inc.1990
- [2] Hemsch, M., *Tactical Missile Aerodynamics : General Topics*. American Institute of Aeronautics and Astronautics, Inc. 1990
- [3] Blakelock, J. H, *Automatic Control of Aircraft and Missile*, John Wiley & Son, Inc.1976
- [4] Nazaroff, G. J., An optimal terminal guidance law. *IEEE Transaction on Automatic Control*. AC-21( 1 ). 407-408, 1976.
- [5] MATLAB Reference Guide, MathWorks, Inc. 1992.

---

\* ความเห็นในงานวิจัยนี้เป็นของผู้วิจัย ทางกองบัญชาการทหารสูงสุดไม่จำเป็นต้องเห็นด้วยเสมอไป